



ČERVENEC 2023
STAVEBNĚ-FYZIKÁLNÍ PARAMETRY

Isokorb[®] XT pro železobetonové konstrukce



Nosné tepelně izolující prvky k efektivní redukci tepelných mostů u předsazených stavebních konstrukcí, jako jsou balkóny, pavlače a atiky.

Ochrana proti kročejovému zvuku

Charakteristické hodnoty kročejového zvuku (nová zkušební metoda dle EAD)

Nová standardizovaná zkušební metoda dle EAD 01 (adopted)

Přestože dle stavebních a soukromoprávních předpisů existují požadavky na kročejovou neprůzvučnost balkónů a pavlačí, nebyla dosud k dispozici žádná konkrétní zkušební norma, která by pomocí vhodného zkušebního a měřicího zařízení stanovila zvukové izolační účinky termicky přerušujících prvků k napojení balkónů.

Od začátku roku 2022 je v revidované verzi 050001-01-0301 (adopted) Evropského dokumentu pro posuzování (EAD) prvků k napojení balkónů poprvé uveden detailní popis standardní zkušební metody pro měření charakteristických hodnot kročejového zvuku u prvků k napojení balkónů. Tato nová zkušební metoda EAD umožňuje poprvé spolehlivě srovnat charakteristické hodnoty kročejového zvuku u produktů různých typů a výrobců. Tyto charakteristické hodnoty slouží zároveň jako zaručené vstupní parametry pro početní odhad ochrany proti kročejovému zvuku u balkónů a pavlačí ve fázi projektové přípravy.

Výrazné zlepšení nové zkušební metody dle EAD 01 (adopted) oproti předchozí verzi EAD

- Uspokojivá specifikace zkušebního a měřicího zařízení z hlediska stavební akustiky a dalšího početního zpracování naměřených hodnot
- „Tuhé“ referenční měření na stejném zkušebním vzorku (a nikoli na přidavné tuhé zkušební konstrukci jako dříve)
- **Nová charakteristická hodnota kročejového zvuku** pro prvky k napojení balkónů: **vážené snížení hladiny kročejového zvuku ΔL_w** (místo doposud používaného váženého rozdílu hladiny kročejového zvuku $\Delta L_{n,w,w}$)
- Použití **metody referenčního stropu dle EN ISO 717-2** pro stanovení váženého snížení hladiny kročejového zvuku ΔL_w (dosud se u váženého rozdílu hladiny kročejového zvuku $\Delta L_{n,w,w}$ uvažoval pouze rozdíl jednočíselných veličin $L_{n0,w}$ a $L_{n,w}$ bez použití metody referenčního stropu)
- Vážené snížení hladiny kročejového zvuku ΔL_w prvku k napojení balkónů lze použít (analogicky k váženému snížení hladiny kročejového zvuku u podlahy na stropní konstrukci) jako **vstupní hodnotu pro početní odhad dle DIN 4109-2 a EN ISO 12354-2**.

Charakteristické hodnoty kročejového zvuku u prvků Schöck Isokorb® s požární odolností a bez ní se již neliší

Použití metody referenčního stropu dle EN ISO 717-2 při stanovení nových charakteristických hodnot kročejového zvuku ΔL_w (vážené snížení hladiny kročejového zvuku) znamená, že již neexistují žádné relevantní rozdíly mezi charakteristickými hodnotami kročejového zvuku prvků Schöck Isokorb® s požární odolností a bez ní („REI120 = R0“).

Možnost srovnání charakteristických hodnot kročejového zvuku, akustická rovnocennost

Díky detailně popsané zkušební metodě dle nového dokumentu EAD 01 (adopted) lze poprvé spolehlivě porovnat charakteristické hodnoty kročejového zvuku různých prvků k napojení balkónů, a to i od různých výrobců – za předpokladu, že byly tyto charakteristické hodnoty stanoveny v souladu s dokumentem EAD 01 (adopted). Pouze charakteristické hodnoty kročejového zvuku dle EAD 01 (adopted) umožňují totiž získat zaručené informace o rovnocennosti různých prvků k napojení balkónů z hlediska kročejové neprůzvučnosti.

Charakteristické hodnoty kročejového zvuku při tvorbě nabídek

Aby bylo zajištěno použití prvků k napojení balkónů s charakteristickými hodnotami kročejového zvuku dle nového dokumentu EAD 01 (adopted), je třeba v nabídce jasně uvést, že hodnoty v nabídce musí odpovídat nové metodě dle EAD 01 (adopted), např. užitím následujícího textového modulu:

- „Vážené snížení hladiny kročejového zvuku ΔL_w dle EAD 050001-01-0301 (adopted): ... dB“

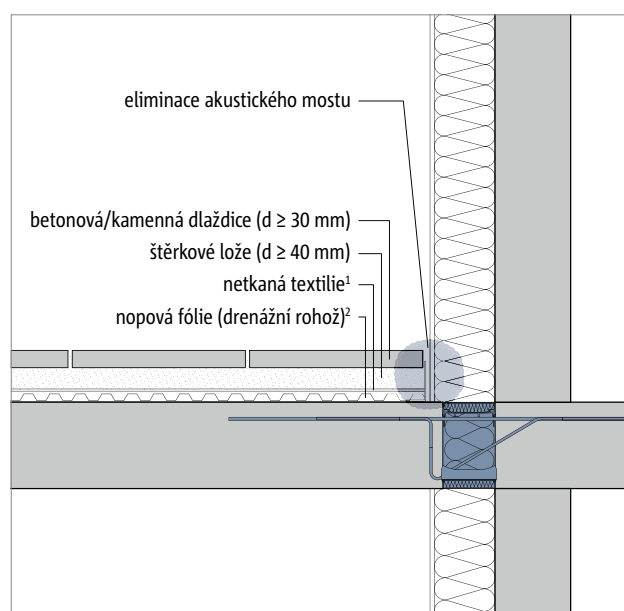
Charakteristické hodnoty kročejového zvuku u kombinace prvků Schöck Isokorb® s podlahou

Přídavná podlaha snižující hladinu kročejového zvuku

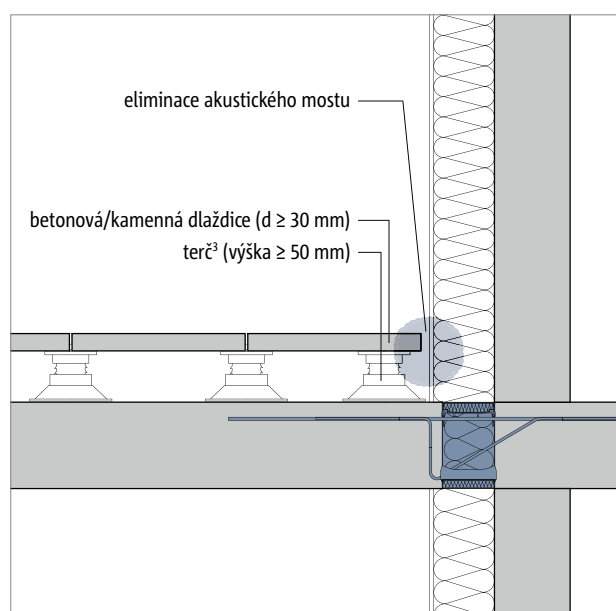
Pokud je ke splnění požadavku na snížení hladiny kročejového zvuku nutná přídavná podlahová krytina na balkóně, lodžii nebo pavlači, lze k hodnotám snížení kročejového zvuku prvku Schöck Isokorb® $\Delta L_{\text{Isokorb}}$ frekvenčně přičíst hodnoty podlahové krytiny $\Delta L_{\text{podlaha}}$. Jednočíselná hodnota váženého snížení kročejového zvuku $\Delta L_{w,\text{celk}}$ celého systému „Schöck Isokorb® + podlaha“ vyplývá z těchto sečtených hodnot snížení hladiny kročejového zvuku $\Delta L_{\text{celk}} = \Delta L_{\text{podlaha}} + \Delta L_{\text{Isokorb}}$ použitím metody referenčního stropu dle EN ISO 717-2.

Balkónové podlahy měřené ve zkušebním zařízení pro podlahy na stropní konstrukci dle EN ISO 10140-1

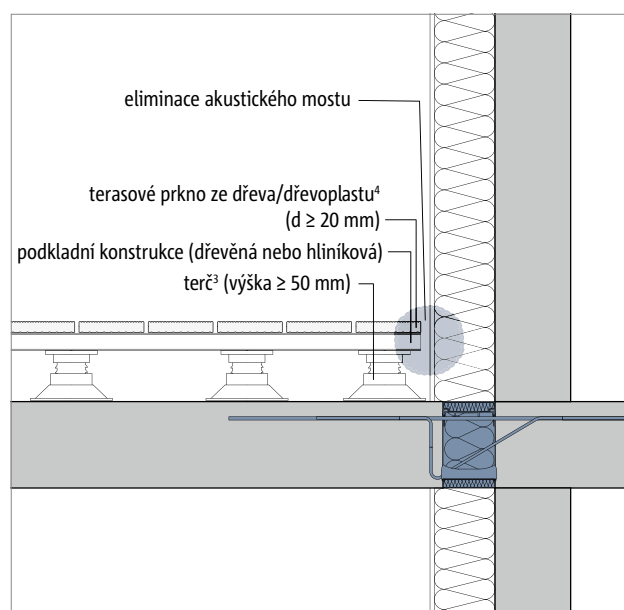
Pro běžné balkónové podlahy (viz následující obrázky) bylo změřeno snížení hladiny kročejového zvuku $\Delta L_{\text{podlaha}}$ na zkušebním zařízení pro podlahy na stropní konstrukci dle EN ISO 10140-1:2016 („Akustika – Laboratorní měření zvukové izolace stavebních konstrukcí – Část 1: Aplikační pravidla pro určité výrobky“). Takto zjištěné hodnoty (závislé na frekvenci) snížení hladiny kročejového zvuku $\Delta L_{\text{podlaha}}$ byly frekvenčně sečteny s příslušnými hodnotami snížení hladiny kročejového zvuku $\Delta L_{\text{Isokorb}}$ podle výše popsané metody, a poté bylo stanoveno vážené snížení hladiny kročejového zvuku $\Delta L_{w,\text{celk}}$ celého systému Schöck Isokorb® + podlaha.



Obr. 1: Balkónová podlaha s betonovými/kamennými dlaždicemi, štěrkovým ložem, netkanou textilií a nopovou fólií (drenážní rohož)



Obr. 2: Balkónová podlaha s betonovými/kamennými dlaždicemi a terčí



Obr. 3: Balkónová podlaha s terasovými prkny ze dřeva/dřevoplastu, podkladní konstrukce (dřevěná nebo hliníková) a terče

i Informace

- 1) je nutností (štěrk se nesmí dostat do nopů)
- 2) z polyetylenového plastu (výška nopů ≥ 8 mm)
- 3) standardní terče z plastu (bez přídavné pružné vrstvy)
- 4) plné nebo dutinové

Schöck Isokorb® XT typ KL

XT typ KL	M1-V1	M1-V2	M2-V1	M2-V2	M3-V1	M3-V2	M3-VV1	M4-V1	M4-V2	M4-V3	M4-VV1	
H [mm]	skladba	ΔL_w [dB]										
160–170	žádná	14,5	15,6	14,4	15,1	13,9	13,9	12,0	12,7	13,0	13,0	12,0
	A	21,0	22,8	20,6	21,1	20,0	22,4	20,2	19,9	22,1	22,1	23,9
	B	20,5	23,0	20,1	21,3	19,5	22,6	20,4	19,1	22,4	22,4	23,6
	C	17,7	20,1	17,3	19,3	16,8	19,7	17,6	16,4	19,3	19,3	21,0
180–190	žádná	15,5	16,6	15,4	16,1	14,9	14,9	13,0	13,7	14,0	14,0	13,0
	A	22,0	23,8	21,6	22,1	21,0	23,4	21,2	20,9	23,1	23,1	24,9
	B	21,5	24,0	21,1	22,3	20,5	23,6	21,4	20,1	23,4	23,4	24,6
	C	18,7	21,1	18,3	20,3	17,8	20,7	18,6	17,4	20,3	20,3	22,0
200–210	žádná	15,5	16,0	15,4	16,0	14,9	14,9	13,0	13,7	14,0	14,0	13,0
	A	22,0	23,2	21,6	22,0	21,0	23,4	21,2	20,9	23,1	23,1	24,9
	B	21,5	23,4	21,1	22,2	20,5	23,6	21,4	20,1	23,4	23,4	24,6
	C	18,7	20,5	18,3	20,2	17,8	20,7	18,6	17,4	20,3	20,3	22,0
220–230	žádná	16,5	15,9	16,4	15,2	15,9	14,5	13,0	14,7	13,9	14,0	13,0
	A	23,0	22,3	22,6	21,6	22,0	21,3	21,2	21,9	21,2	21,3	24,9
	B	22,5	22,5	22,1	21,8	21,5	21,5	21,4	21,1	21,4	21,5	24,6
	C	19,7	20,5	19,3	19,8	18,8	19,5	18,6	18,4	19,4	19,5	22,0
240–250	žádná	16,5	18,0	16,5	17,0	16,4	16,0	13,5	15,2	15,0	14,5	13,5
	A	23,0	24,4	22,7	23,4	22,5	22,8	21,7	22,4	22,3	21,8	25,4
	B	22,5	24,6	22,2	23,6	22,0	23,0	21,9	21,6	22,5	22,0	25,1
	C	19,7	22,6	19,4	21,6	19,3	21,0	19,1	18,9	20,5	20,0	22,5

- ΔL_w vážené snížení hladiny kročejového zvuku dle zkušební metody v novém dokumentu EAD 01 (adopted)
- Podlahová skladba A: betonové/kamenné dlaždice, štěrkové lože, netkaná textilie a nopová fólie (drenážní rohož)
Podlahová skladba B: betonové/kamenné dlaždice a terče
Podlahová skladba C: terasová prkna ze dřeva/dřevoplastu, podkladní konstrukce (dřevěná nebo hliníková) a terče

Modře podbarvené hodnoty

Tyto hodnoty byly naměřeny metodou dle EAD 01 (adopted version). Všechny ostatní hodnoty byly vypočteny Metodou konečných prvků 3D na virtuálním zkušebním vzorku, kterou vyvinula vysoká technická škola HFT Stuttgart v souladu se zkušební metodou dle EAD 01 (adopted version).

Schöck Isokorb® XT typ KL

XT typ KL	M5-V1	M5-V2	M5-V3	M5-VV1	M6-V1	M6-V2	M6-V3	M6-VV1	M7-V1	M7-V2	M7-VV1	
H [mm]	skladba	ΔL_w [dB]										
160–170	žádná	12,4	12,0	12,0	11,0	11,9	11,0	11,0	10,0	10,2	10,1	9,0
	A	19,9	21,8	21,8	23,4	19,5	21,5	21,5	23,0	18,4	21,3	23,4
	B	19,1	22,0	22,0	22,9	18,9	21,7	21,7	22,3	18,1	21,5	22,5
	C	16,3	18,8	18,8	20,3	16,1	18,5	18,5	19,6	15,4	18,2	20,3
180–190	žádná	13,4	13,0	13,0	12,0	12,9	12,0	12,0	11,0	11,2	11,1	10,0
	A	20,9	22,8	22,8	24,4	20,5	22,5	22,5	24,0	19,4	22,3	24,4
	B	20,1	23,0	23,0	23,9	19,9	22,7	22,7	23,3	19,1	22,5	23,5
	C	17,3	19,8	19,8	21,3	17,1	19,5	19,5	20,6	16,4	19,2	21,3
200–210	žádná	13,4	13,0	13,0	12,0	12,9	12,0	12,0	11,0	11,2	11,1	10,0
	A	20,9	22,8	22,8	24,4	20,5	22,5	22,5	24,0	19,4	22,3	24,4
	B	20,1	23,0	23,0	23,9	19,9	22,7	22,7	23,3	19,1	22,5	23,5
	C	17,3	19,8	19,8	21,3	17,1	19,5	19,5	20,6	16,4	19,2	21,3
220–230	žádná	14,4	13,5	13,0	12,0	13,9	13,0	12,0	11,0	12,2	10,5	9,0
	A	21,9	23,3	22,8	24,4	21,5	23,5	22,5	24,0	20,4	21,7	23,4
	B	21,1	23,5	23,0	23,9	20,9	23,7	22,7	23,3	20,1	21,9	22,5
	C	18,3	20,3	19,8	21,3	18,1	20,5	19,5	20,6	17,4	18,6	20,3
240–250	žádná	14,9	13,5	13,5	12,5	14,4	13,0	12,5	11,5	12,7	12,0	9,5
	A	22,4	23,3	23,3	24,9	22,0	23,5	23,0	24,5	20,9	23,2	23,9
	B	21,6	23,5	23,5	24,4	21,4	23,7	23,2	23,8	20,6	23,4	23,0
	C	18,8	20,3	20,3	21,8	18,6	20,5	20,0	21,1	17,9	20,1	20,8

- ΔL_w vážené snížení hladiny kročejevého zvuku dle zkušební metody v novém dokumentu EAD 01 (adopted)
- Podlahová skladba A: betonové/kamenné dlaždice, štěrkové lože, netkaná textilie a nopová fólie (drenážní rohož)
Podlahová skladba B: betonové/kamenné dlaždice a terče
Podlahová skladba C: terasová prkna ze dřeva/dřevoplastu, podkladní konstrukce (dřevěná nebo hliníková) a terče

Modře podbarvené hodnoty

Tyto hodnoty byly naměřeny metodou dle EAD 01 (adopted version). Všechny ostatní hodnoty byly vypočteny Metodou konečných prvků 3D na virtuálním zkušebním vzorku, kterou vyvinula vysoká technická škola HfT Stuttgart v souladu se zkušební metodou dle EAD 01 (adopted version).

Schöck Isokorb® XT typ KL

XT typ KL		M8-V1	M8-V2	M8-VV1	M9-V1	M9-V2	M10-V1	M10-V2
H [mm]	skladba	ΔL_w [dB]						
160–170	žádná	9,4	9,0	8,0	8,3	8,0	7,4	6,8
	A	18,7	21,5	22,6	19,0	21,4	17,6	21,1
	B	18,2	21,2	21,8	18,3	20,7	17,5	20,2
	C	15,5	18,7	19,6	16,0	18,6	14,9	18,5
180–190	žádná	10,4	10,0	9,0	9,3	9,0	8,4	7,8
	A	19,7	22,5	23,6	20,0	22,4	18,6	22,1
	B	19,2	22,2	22,8	19,3	21,7	18,5	21,2
	C	16,5	19,7	20,6	17,0	19,6	15,9	19,5
200–210	žádná	10,4	10,0	9,0	9,3	9,0	8,4	7,8
	A	19,7	22,5	23,6	20,0	22,4	18,6	22,1
	B	19,2	22,2	22,8	19,3	21,7	18,5	21,2
	C	16,5	19,7	20,6	17,0	19,6	15,9	19,5
220–230	žádná	11,4	10,0	8,0	10,3	9,0	9,4	8,0
	A	20,7	22,5	22,6	21,0	22,4	19,6	22,3
	B	20,2	22,2	21,8	20,3	21,7	19,5	21,4
	C	17,5	19,7	19,6	18,0	19,6	16,9	19,7
240–250	žádná	11,9	11,0	8,5	10,8	10,0	9,9	9,0
	A	21,2	23,5	23,1	21,5	23,4	20,1	23,3
	B	20,7	23,2	22,3	20,8	22,7	20,0	22,4
	C	18,0	20,7	20,1	18,5	20,6	17,4	20,7

- ΔL_w vážené snížení hladiny kročejového zvuku dle zkušební metody v novém dokumentu EAD 01 (adopted)
- Podlahová skladba A: betonové/kamenné dlaždice, štěrkové lože, netkaná textilie a nopová fólie (drenážní rohož)
Podlahová skladba B: betonové/kamenné dlaždice a terče
Podlahová skladba C: terasová prkna ze dřeva/dřevoplastu, podkladní konstrukce (dřevěná nebo hliníková) a terče

Modře podbarvené hodnoty

Tyto hodnoty byly naměřeny metodou dle EAD 01 (adopted version). Všechny ostatní hodnoty byly vypočteny Metodou konečných prvků 3D na virtuálním zkušebním vzorku, kterou vyvinula vysoká technická škola HFT Stuttgart v souladu se zkušební metodou dle EAD 01 (adopted version).

Schöck Isokorb® XT typ KP

XT typ KP		M11-V1	M11-V2	M11-V3	M12-V1	M12-V2	M12-V3	M13-V1	M13-V2	M13-V3
H [mm]	skladba	ΔL_w [dB]								
180–190	žádná	10,0	10,0	-	9,0	9,0	-	8,0	8,0	-
	A	22,8	22,8	-	21,8	21,8	-	20,8	20,8	-
	B	21,4	21,4	-	20,4	20,4	-	19,4	19,4	-
	C	19,1	19,1	-	18,1	18,1	-	17,1	17,1	-
200–210	žádná	10,0	10,0	8,0	9,0	9,0	7,0	8,0	8,0	6,0
	A	22,8	22,8	20,8	21,8	21,8	19,8	20,8	20,8	18,8
	B	21,4	21,4	19,4	20,4	20,4	18,4	19,4	19,4	17,4
	C	19,1	19,1	17,1	18,1	18,1	16,1	17,1	17,1	15,1
220–230	žádná	11,0	10,0	8,5	10,0	9,0	7,5	9,0	8,0	6,5
	A	23,8	22,8	21,3	22,8	21,8	20,3	21,8	20,8	19,3
	B	22,4	21,4	19,9	21,4	20,4	18,9	20,4	19,4	17,9
	C	20,1	19,1	17,6	19,1	18,1	16,6	18,1	17,1	15,6
240–250	žádná	11,5	11,0	9,0	10,5	10,0	8,0	9,5	9,0	7,0
	A	24,3	23,8	21,8	23,3	22,8	20,8	22,3	21,8	19,8
	B	22,9	22,4	20,4	21,9	21,4	19,4	20,9	20,4	18,4
	C	20,6	20,1	18,1	19,6	19,1	17,1	18,6	18,1	16,1

- ΔL_w vážené snížení hladiny kročejevého zvuku dle zkušební metody v novém dokumentu EAD 01 (adopted)
- Podlahová skladba A: betonové/kamenné dlaždice, šterkové lože, netkaná textilie a nopová fólie (drenážní rohož)
Podlahová skladba B: betonové/kamenné dlaždice a terče
Podlahová skladba C: terasová prkna ze dřeva/dřevoplastu, podkladní konstrukce (dřevěná nebo hliníková) a terče

i Modře podbarvené hodnoty

Tyto hodnoty byly naměřeny metodou dle EAD 01 (adopted version). Všechny ostatní hodnoty byly vypočteny Metodou konečných prvků 3D na virtuálním zkušebním vzorku, kterou vyvinula vysoká technická škola HfT Stuttgart v souladu se zkušební metodou dle EAD 01 (adopted version).

Schöck Isokorb® XT typ KL-U, KL-O

XT typ KL-U, KL-O		KL-U-M1	KL-U-M2	KL-U-M3	KL-U-M4	KL-O-M1	KL-O-M2	KL-O-M3	KL-O-M4
H [mm]	skladba	ΔL_w [dB]							
160–170	žádná	12,4	10,2	8,3	8,3	12,4	10,2	8,3	8,3
	A	19,6	17,8	17,6	18,5	19,6	17,8	17,6	18,5
	B	18,8	17,2	17,1	18,4	18,8	17,2	17,1	18,4
	C	16,1	14,4	14,4	15,8	16,1	14,4	14,4	15,8
180–190	žádná	13,4	11,2	9,3	9,3	13,4	11,2	9,3	9,3
	A	20,6	18,8	18,6	19,5	20,6	18,8	18,6	19,5
	B	19,8	18,2	18,1	19,4	19,8	18,2	18,1	19,4
	C	17,1	15,4	15,4	16,8	17,1	15,4	15,4	16,8
200–210	žádná	13,4	11,2	9,3	9,3	13,4	11,2	9,3	9,3
	A	20,6	18,8	18,6	19,5	20,6	18,8	18,6	19,5
	B	19,8	18,2	18,1	19,4	19,8	18,2	18,1	19,4
	C	17,1	15,4	15,4	16,8	17,1	15,4	15,4	16,8
220–230	žádná	14,4	12,2	10,3	10,3	14,4	12,2	10,3	10,3
	A	21,6	19,8	19,6	20,5	21,6	19,8	19,6	20,5
	B	20,8	19,2	19,1	20,4	20,8	19,2	19,1	20,4
	C	18,1	16,4	16,4	17,8	18,1	16,4	16,4	17,8
240–250	žádná	14,9	12,7	10,8	10,8	14,9	12,7	10,8	10,8
	A	22,1	20,3	20,1	21,0	22,1	20,3	20,1	21,0
	B	21,3	19,7	19,6	20,9	21,3	19,7	19,6	20,9
	C	18,6	16,9	16,9	18,3	18,6	16,9	16,9	18,3

- ΔL_w vážené snížení hladiny kročejového zvuku dle zkušební metody v novém dokumentu EAD 01 (adopted)
- Podlahová skladba A: betonové/kamenné dlaždice, štěrkové lože, netkaná textilie a nopová fólie (drenážní rohož)
Podlahová skladba B: betonové/kamenné dlaždice a terče
Podlahová skladba C: terasová prkna ze dřeva/dřevoplastu, podkladní konstrukce (dřevěná nebo hliníková) a terče

1 Modře podbarvené hodnoty

Tyto hodnoty byly naměřeny metodou dle EAD 01 (adopted version). Všechny ostatní hodnoty byly vypočteny Metodou konečných prvků 3D na virtuálním zkušebním vzorku, kterou vyvinula vysoká technická škola HFT Stuttgart v souladu se zkušební metodou dle EAD 01 (adopted version).

Schöck Isokorb® XT typ QL

XT typ QL	V1	V2	V3	V4	V5	V6	V7	V8	V9	V10	V11	
H [mm]	skladba	ΔL_w [dB]										
160–170	žádná	13,0	13,0	12,5	12,0	11,7	11,5	10,5	10,0	9,0	-	-
	A	22,4	20,6	21,7	22,5	22,8	23,4	22,5	22,0	21,1	-	-
	B	22,4	20,8	21,5	22,4	22,7	23,2	22,4	22,0	21,1	-	-
	C	20,5	18,1	18,5	19,4	19,8	20,3	19,6	19,4	18,5	-	-
180–190	žádná	14,0	14,0	13,5	13,0	12,7	12,5	11,5	11,0	10,0	7,5	6,5
	A	23,4	21,6	22,7	23,5	23,8	24,4	23,5	23,0	22,1	19,6	18,6
	B	23,4	21,8	22,5	23,4	23,7	24,2	23,4	23,0	22,1	19,6	18,6
	C	21,5	19,1	19,5	20,4	20,8	21,3	20,6	20,4	19,5	17,0	16,0
200–210	žádná	14,0	14,0	13,5	13,0	12,7	12,5	11,5	11,0	10,0	7,5	6,5
	A	23,4	21,6	22,7	23,5	23,8	24,4	23,5	23,0	22,1	19,6	18,6
	B	23,4	21,8	22,5	23,4	23,7	24,2	23,4	23,0	22,1	19,6	18,6
	C	21,5	19,1	19,5	20,4	20,8	21,3	20,6	20,4	19,5	17,0	16,0
220–230	žádná	14,0	14,0	14,0	13,5	13,2	13,0	12,0	11,5	10,5	8,0	7,0
	A	23,4	21,6	23,2	24,0	24,3	24,9	24,0	23,5	22,6	20,1	19,1
	B	23,4	21,8	23,0	23,9	24,2	24,7	23,9	23,5	22,6	20,1	19,1
	C	21,5	19,1	20,0	20,9	21,3	21,8	21,1	20,9	20,0	17,5	16,5
240–250	žádná	14,0	14,0	14,0	14,0	13,7	13,5	12,5	12,0	11,0	8,5	7,5
	A	23,4	21,6	23,2	24,5	24,8	25,4	24,5	24,0	23,1	20,6	19,6
	B	23,4	21,8	23,0	24,4	24,7	25,2	24,4	24,0	23,1	20,6	19,6
	C	21,5	19,1	20,0	21,4	21,8	22,3	21,6	21,4	20,5	18,0	17,0

- ΔL_w vážené snížení hladiny kročejového zvuku dle zkušební metody v novém dokumentu EAD 01 (adopted)
- Podlahová skladba A: betonové/kamenné dlaždice, štěrkové lože, netkaná textilie a nopová fólie (drenážní rohož)
Podlahová skladba B: betonové/kamenné dlaždice a terče
Podlahová skladba C: terasová prkna ze dřeva/dřevoplastu, podkladní konstrukce (dřevěná nebo hliníková) a terče

Modře podbarvené hodnoty

Tyto hodnoty byly naměřeny metodou dle EAD 01 (adopted version). Všechny ostatní hodnoty byly vypočteny Metodou konečných prvků 3D na virtuálním zkušebním vzorku, kterou vyvinula vysoká technická škola HfT Stuttgart v souladu se zkušební metodou dle EAD 01 (adopted version).

Schöck Isokorb® XT typ QL

XT typ QL		VV1	VV2	VV3	VV4	VV5	VV6	VV7	VV8	VV9	VV10	VV11
H [mm]	skladba	ΔL_w [dB]										
160–170	žádná	11,5	10,5	10,0	9,5	9,0	-	-	-	-	-	-
	A	20,3	20,3	19,8	20,3	20,5	-	-	-	-	-	-
	B	20,2	20,4	19,9	20,5	20,7	-	-	-	-	-	-
	C	17,3	17,4	16,9	17,4	17,5	-	-	-	-	-	-
180–190	žádná	12,5	11,5	11,0	10,5	10,0	9,4	8,0	7,0	6,5	5,5	-
	A	21,3	21,3	20,8	21,3	21,5	23,0	22,6	21,6	22,4	21,4	-
	B	21,2	21,4	20,9	21,5	21,7	22,6	21,8	20,8	21,2	20,2	-
	C	18,3	18,4	17,9	18,4	18,5	19,8	19,5	18,5	19,2	18,2	-
200–210	žádná	12,5	11,5	11,0	10,5	10,0	9,4	8,0	7,0	6,5	6,0	5,5
	A	21,3	21,3	20,8	21,3	21,5	23,0	22,6	21,6	22,4	21,9	21,4
	B	21,2	21,4	20,9	21,5	21,7	22,6	21,8	20,8	21,2	20,7	20,2
	C	18,3	18,4	17,9	18,4	18,5	19,8	19,5	18,5	19,2	18,7	18,2
220–230	žádná	13,0	12,0	11,5	11,0	10,5	9,9	8,5	7,5	7,0	6,5	6,0
	A	21,8	21,8	21,3	21,8	22,0	23,5	23,1	22,1	22,9	22,4	21,9
	B	21,7	21,9	21,4	22,0	22,2	23,1	22,3	21,3	21,7	21,2	20,7
	C	18,8	18,9	18,4	18,9	19,0	20,3	20,0	19,0	19,7	19,2	18,7
240–250	žádná	13,5	12,5	12,0	11,5	11,0	10,4	9,0	8,0	7,5	7,0	6,5
	A	22,3	22,3	21,8	22,3	22,5	24,0	23,6	22,6	23,4	22,9	22,4
	B	22,2	22,4	21,9	22,5	22,7	23,6	22,8	21,8	22,2	21,7	21,2
	C	19,3	19,4	18,9	19,4	19,5	20,8	20,5	19,5	20,2	19,7	19,2

- ΔL_w vážené snížení hladiny kročejového zvuku dle zkušební metody v novém dokumentu EAD 01 (adopted)
- Podlahová skladba A: betonové/kamenné dlaždice, štěrkové lože, netkaná textilie a nopová fólie (drenážní rohož)
Podlahová skladba B: betonové/kamenné dlaždice a terče
Podlahová skladba C: terasová prkna ze dřeva/dřevoplastu, podkladní konstrukce (dřevěná nebo hliníková) a terče

1 Modře podbarvené hodnoty

Tyto hodnoty byly naměřeny metodou dle EAD 01 (adopted version). Všechny ostatní hodnoty byly vypočteny Metodou konečných prvků 3D na virtuálním zkušebním vzorku, kterou vyvinula vysoká technická škola HFT Stuttgart v souladu se zkušební metodou dle EAD 01 (adopted version).

Schöck Isokorb® XT typ QP

XT typ QP		V1	V2	V3	V4	V5	V6	V7	V8	V9	V10
H [mm]	skladba	ΔL_w [dB]									
180–190	žádná	14,0	14,0	13,0	12,0	11,0	-	-	-	-	-
	A	20,6	21,1	20,6	19,6	18,6	-	-	-	-	-
	B	20,9	21,3	20,8	19,8	18,8	-	-	-	-	-
	C	18,8	19,3	18,8	17,8	16,8	-	-	-	-	-
200–210	žádná	14,0	14,0	13,0	12,0	11,0	10,0	9,0	8,5	8,0	7,5
	A	20,6	21,1	20,6	19,6	18,6	17,6	16,6	16,1	15,6	15,1
	B	20,9	21,3	20,8	19,8	18,8	17,8	16,8	16,3	15,8	15,3
	C	18,8	19,3	18,8	17,8	16,8	15,8	14,8	14,3	13,8	13,3
220–230	žádná	14,0	14,0	13,5	12,5	11,5	10,5	9,5	9,0	8,5	8,0
	A	20,6	21,1	21,1	20,1	19,1	18,1	17,1	16,6	16,1	15,6
	B	20,9	21,3	21,3	20,3	19,3	18,3	17,3	16,8	16,3	15,8
	C	18,8	19,3	19,3	18,3	17,3	16,3	15,3	14,8	14,3	13,8
240–250	žádná	14,0	14,0	14,0	13,0	12,0	11,0	10,0	9,5	9,0	8,5
	A	20,6	21,1	21,6	20,6	19,6	18,6	17,6	17,1	16,6	16,1
	B	20,9	21,3	21,8	20,8	19,8	18,8	17,8	17,3	16,8	16,3
	C	18,8	19,3	19,8	18,8	17,8	16,8	15,8	15,3	14,8	14,3

- ΔL_w vážené snížení hladiny kročejového zvuku dle zkušební metody v novém dokumentu EAD 01 (adopted)
- Podlahová skladba A: betonové/kamenné dlaždice, štěrkové lože, netkaná textilie a nopová fólie (drenážní rohož)
Podlahová skladba B: betonové/kamenné dlaždice a terče
Podlahová skladba C: terasová prkna ze dřeva/dřevoplastu, podkladní konstrukce (dřevěná nebo hliníková) a terče

i Modře podbarvené hodnoty

Tyto hodnoty byly naměřeny metodou dle EAD 01 (adopted version). Všechny ostatní hodnoty byly vypočteny Metodou konečných prvků 3D na virtuálním zkušebním vzorku, kterou vyvinula vysoká technická škola HfT Stuttgart v souladu se zkušební metodou dle EAD 01 (adopted version).

Schöck Isokorb® XT typ QP

XT typ QP		VV1	VV2	VV3	VV4	VV5	VV6	VV7	VV8	VV9	VV10
H [mm]	skladba	ΔL_w [dB]									
180–190	žádná	11,0	11,0	10,0	-	-	-	-	-	-	-
	A	17,6	18,1	17,6	-	-	-	-	-	-	-
	B	17,9	18,3	17,8	-	-	-	-	-	-	-
	C	15,8	16,3	15,8	-	-	-	-	-	-	-
200–210	žádná	11,0	11,0	10,0	9,0	8,0	7,0	6,0	5,5	5,0	4,5
	A	17,6	18,1	17,6	16,6	15,6	14,6	13,6	13,1	12,6	12,1
	B	17,9	18,3	17,8	16,8	15,8	14,8	13,8	13,3	12,8	12,3
	C	15,8	16,3	15,8	14,8	13,8	12,8	11,8	11,3	10,8	10,3
220–230	žádná	11,5	11,5	10,5	9,5	8,5	7,5	6,5	6,0	5,5	5,0
	A	18,1	18,6	18,1	17,1	16,1	15,1	14,1	13,6	13,1	12,6
	B	18,4	18,8	18,3	17,3	16,3	15,3	14,3	13,8	13,3	12,8
	C	16,3	16,8	16,3	15,3	14,3	13,3	12,3	11,8	11,3	10,8
240–250	žádná	12,0	12,0	11,0	10,0	9,0	8,0	7,0	6,5	6,0	5,5
	A	18,6	19,1	18,6	17,6	16,6	15,6	14,6	14,1	13,6	13,1
	B	18,9	19,3	18,8	17,8	16,8	15,8	14,8	14,3	13,8	13,3
	C	16,8	17,3	16,8	15,8	14,8	13,8	12,8	12,3	11,8	11,3

- ΔL_w vážené snížení hladiny kročejového zvuku dle zkušební metody v novém dokumentu EAD 01 (adopted)
- Podlahová skladba A: betonové/kamenné dlaždice, štěrkové lože, netkaná textilie a nopová fólie (drenážní rohož)
Podlahová skladba B: betonové/kamenné dlaždice a terče
Podlahová skladba C: terasová prkna ze dřeva/dřevoplastu, podkladní konstrukce (dřevěná nebo hliníková) a terče

i Modře podbarvené hodnoty

Tyto hodnoty byly naměřeny metodou dle EAD 01 (adopted version). Všechny ostatní hodnoty byly vypočteny Metodou konečných prvků 3D na virtuálním zkušebním vzorku, kterou vyvinula vysoká technická škola HfT Stuttgart v souladu se zkušební metodou dle EAD 01 (adopted version).

Schöck Isokorb® XT typ QP-Z

XT typ QP-Z		V1	V2	V3	V4	V5	V6	V7	V8	V9	V10
H [mm]	skladba	ΔL_w [dB]									
180–190	žádná	14,0	14,0	13,0	12,0	11,0	-	-	-	-	-
	A	22,6	22,6	21,6	20,6	19,6	-	-	-	-	-
	B	22,8	22,8	21,8	20,8	19,8	-	-	-	-	-
	C	20,3	20,3	19,3	18,3	17,3	-	-	-	-	-
200–210	žádná	14,0	14,0	13,0	12,0	11,0	10,0	9,0	8,5	8,0	7,5
	A	22,6	114,0	21,6	20,6	19,6	18,6	17,6	17,1	16,6	16,1
	B	22,8	214,0	21,8	20,8	19,8	18,8	17,8	17,3	16,8	16,3
	C	20,3	314,0	19,3	18,3	17,3	16,3	15,3	14,8	14,3	13,8
220–230	žádná	14,5	14,5	13,5	12,5	11,5	10,5	9,5	9,0	8,5	8,0
	A	23,1	23,1	22,1	21,1	20,1	19,1	18,1	17,6	17,1	16,6
	B	23,3	23,3	22,3	21,3	20,3	19,3	18,3	17,8	17,3	16,8
	C	20,8	20,8	19,8	18,8	17,8	16,8	15,8	15,3	14,8	14,3
240–250	žádná	15,0	15,0	14,0	13,0	12,0	11,0	10,0	9,5	9,0	8,5
	A	23,6	23,6	22,6	21,6	20,6	19,6	18,6	18,1	17,6	17,1
	B	23,8	23,8	22,8	21,8	20,8	19,8	18,8	18,3	17,8	17,3
	C	21,3	21,3	20,3	19,3	18,3	17,3	16,3	15,8	15,3	14,8

- ΔL_w vážené snížení hladiny kročejového zvuku dle zkušební metody v novém dokumentu EAD 01 (adopted)
- Podlahová skladba A: betonové/kamenné dlaždice, štěrkové lože, netkaná textilie a nopová fólie (drenážní rohož)
Podlahová skladba B: betonové/kamenné dlaždice a terče
Podlahová skladba C: terasová prkna ze dřeva/dřevoplastu, podkladní konstrukce (dřevěná nebo hliníková) a terče

i Modře podbarvené hodnoty

Tyto hodnoty byly naměřeny metodou dle EAD 01 (adopted version). Všechny ostatní hodnoty byly vypočteny Metodou konečných prvků 3D na virtuálním zkušebním vzorku, kterou vyvinula vysoká technická škola HfT Stuttgart v souladu se zkušební metodou dle EAD 01 (adopted version).

Schöck Isokorb® XT typ CL

XT typ CL-L/R		M1-V1	M1-V2	M2-V1	M2-V2
H [mm]	skladba	ΔL_w [dB]			
180–190	žádná	8,5	-	7,5	-
	A	21,9	-	20,9	-
	B	21,5	-	20,5	-
	C	18,3	-	17,3	-
200–210	žádná	7,5	8,5	7,5	6,5
	A	19,9	21,9	20,9	18,9
	B	19,5	21,5	20,5	18,5
	C	16,3	18,3	17,3	15,3
220–230	žádná	8,0	9,0	8,0	7,0
	A	20,4	22,4	21,4	19,4
	B	20,0	22,0	21,0	19,0
	C	16,8	18,8	17,8	15,8
240–250	žádná	8,5	9,5	8,5	7,5
	A	20,9	22,9	21,9	19,9
	B	20,5	22,5	21,5	19,5
	C	17,3	19,3	18,3	16,3

- ΔL_w vážené snížení hladiny kročejového zvuku dle zkušební metody v novém dokumentu EAD 01 (adopted)
- Podlahová skladba A: betonové/kamenné dlaždice, štěrkové lože, netkaná textilie a nopová fólie (drenážní rohož)
Podlahová skladba B: betonové/kamenné dlaždice a terče
Podlahová skladba C: terasová prkna ze dřeva/dřevoplastu, podkladní konstrukce (dřevěná nebo hliníková) a terče

i Modře podbarvené hodnoty

Tyto hodnoty byly naměřeny metodou dle EAD 01 (adopted version). Všechny ostatní hodnoty byly vypočteny Metodou konečných prvků 3D na virtuálním zkušební vzorku, kterou vyvinula vysoká technická škola HfT Stuttgart v souladu se zkušební metodou dle EAD 01 (adopted version).

Schöck Isokorb® XT typ HP

XT typ HP		NN1	NN2	VV1-NN1	VV2-NN1
H [mm]	skladba	ΔL_w [dB]			
160–170	žádná	18,0	15,0	18,0	15,0
	A	23,6	20,6	23,6	23,6
	B	23,8	20,8	23,8	23,8
	C	21,3	18,3	21,3	21,3
180–190	žádná	18,0	16,0	18,0	15,0
	A	23,6	20,6	23,6	23,6
	B	23,8	20,8	23,8	23,8
	C	21,3	18,3	21,3	21,3
200–210	žádná	18,0	16,0	18,0	15,0
	A	23,6	20,6	23,6	23,6
	B	23,8	20,8	23,8	23,8
	C	21,3	18,3	21,3	21,3
220–230	žádná	18,0	16,0	18,0	15,0
	A	23,6	20,6	23,6	23,6
	B	23,8	20,8	23,8	23,8
	C	21,3	18,3	21,3	21,3
240–250	žádná	18,0	16,0	18,0	15,0
	A	23,6	20,6	23,6	23,6
	B	23,8	20,8	23,8	23,8
	C	21,3	18,3	21,3	21,3

- ΔL_w vážené snížení hladiny kročežového zvuku dle zkušební metody v novém dokumentu EAD 01 (adopted)
- Podlahová skladba A: betonové/kamenné dlaždice, štěrkové lože, netkaná textilie a nopová fólie (drenážní rohož)
Podlahová skladba B: betonové/kamenné dlaždice a terče
Podlahová skladba C: terasová prkna ze dřeva/dřevoplastu, podkladní konstrukce (dřevěná nebo hliníková) a terče

Modře podbarvené hodnoty

Tyto hodnoty byly naměřeny metodou dle EAD 01 (adopted version). Všechny ostatní hodnoty byly vypočteny Metodou konečných prvků 3D na virtuálním zkušebním vzorku, kterou vyvinula vysoká technická škola HfT Stuttgart v souladu se zkušební metodou dle EAD 01 (adopted version).

Schöck Isokorb® XT typ ZL

XT typ ZL		EI120	EI120-T
H [mm]	skladba	ΔL_w [dB]	
160–170	žádná	20,0	15,0
	A	28,6	23,6
	B	28,8	23,8
	C	26,3	21,3
180–190	žádná	20,0	15,0
	A	28,6	23,6
	B	28,8	23,8
	C	26,3	21,3
200–210	žádná	20,0	15,0
	A	28,6	23,6
	B	28,8	23,8
	C	26,3	21,3
220–230	žádná	20,0	15,0
	A	28,6	23,6
	B	28,8	23,8
	C	26,3	21,3
240–250	žádná	20,0	15,0
	A	28,6	23,6
	B	28,8	23,8
	C	26,3	21,3

- ΔL_w vážené snížení hladiny kročejového zvuku dle zkušební metody v novém dokumentu EAD 01 (adopted)
- Podlahová skladba A: betonové/kamenné dlaždice, štěrkové lože, netkaná textilie a nopová fólie (drenážní rohož)
Podlahová skladba B: betonové/kamenné dlaždice a terče
Podlahová skladba C: terasová prkna ze dřeva/dřevoplastu, podkladní konstrukce (dřevěná nebo hliníková) a terče

Modře podbarvené hodnoty

Tyto hodnoty byly naměřeny metodou dle EAD 01 (adopted version). Všechny ostatní hodnoty byly vypočteny Metodou konečných prvků 3D na virtuálním zkušebním vzorku, kterou vyvinula vysoká technická škola HFT Stuttgart v souladu se zkušební metodou dle EAD 01 (adopted version).

Schöck Isokorb® XT typ DL

XT typ DL		MM1-VV1	MM1-VV2	MM1-VV3	MM2-VV1	MM2-VV2	MM2-VV3	MM3-VV1	MM3-VV2	MM3-VV3	MM3-VV4	MM3-VV5
H [mm]	skladba	ΔL_w [dB]										
160–170	žádná	10,0	7,5	8,0	10,0	8,8	-	10,0	8,5	-	-	-
	A	20,6	18,1	21,4	20,6	19,3	-	20,6	19,1	-	-	-
	B	20,5	18,0	21,0	20,5	19,2	-	20,5	19,0	-	-	-
	C	17,5	15,0	17,8	17,5	16,2	-	17,5	16,0	-	-	-
180–190	žádná	11,0	10,0	9,0	11,0	9,8	8,5	11,0	9,5	8,0	6,0	4,0
	A	21,6	20,6	22,4	21,6	20,3	21,9	21,6	20,1	21,4	19,4	17,4
	B	21,5	20,5	22,0	21,5	20,2	21,5	21,5	20,0	21,0	19,0	17,0
	C	18,5	17,5	18,8	18,5	17,2	18,3	18,5	17,0	17,8	15,8	13,8
200–210	žádná	11,0	10,0	9,0	11,0	9,8	8,5	11,0	9,5	8,0	6,0	4,0
	A	21,6	20,6	22,4	21,6	20,3	21,9	21,6	20,1	21,4	19,4	17,4
	B	21,5	20,5	22,0	21,5	20,2	21,5	21,5	20,0	21,0	19,0	17,0
	C	18,5	17,5	18,8	18,5	17,2	18,3	18,5	17,0	17,8	15,8	13,8
220–230	žádná	11,5	10,5	9,5	11,5	10,3	9,0	11,5	10,0	8,5	6,5	4,5
	A	22,1	21,1	22,9	22,1	20,9	22,4	22,1	20,6	21,9	19,9	17,9
	B	22,0	21,0	22,5	22,0	20,8	22,0	22,0	20,5	21,5	19,5	17,5
	C	19,0	18,0	19,3	19,0	17,8	18,8	19,0	17,5	18,3	16,3	14,3
240–250	žádná	12,0	11,0	10,0	12,0	10,8	9,5	12,0	10,5	9,0	7,0	5,0
	A	22,6	21,6	23,4	22,6	21,3	22,9	22,6	21,1	22,4	20,4	18,4
	B	22,5	21,5	23,0	22,5	21,2	22,5	22,5	21,0	22,0	20,0	18,0
	C	19,5	18,5	19,8	19,5	18,2	19,3	19,5	18,0	18,8	16,8	14,8

- ΔL_w vážené snížení hladiny kročežového zvuku dle zkušební metody v novém dokumentu EAD 01 (adopted)
- Podlahová skladba A: betonové/kamenné dlaždice, štěrkové lože, netkaná textilie a nopová fólie (drenážní rohož)
Podlahová skladba B: betonové/kamenné dlaždice a terče
Podlahová skladba C: terasová prkna ze dřeva/dřevoplastu, podkladní konstrukce (dřevěná nebo hliníková) a terče

■ Modře podbarvené hodnoty

Tyto hodnoty byly naměřeny metodou dle EAD 01 (adopted version). Všechny ostatní hodnoty byly vypočteny Metodou konečných prvků 3D na virtuálním zkušebním vzorku, kterou vyvinula vysoká technická škola HfT Stuttgart v souladu se zkušební metodou dle EAD 01 (adopted version).

Schöck Isokorb® XT typ DL

XT typ DL		MM4-VV1	MM4-VV2	MM4-VV3	MM4-VV4	MM4-VV5	MM5-VV1	MM5-VV2	MM5-VV3	MM5-VV4	MM5-VV5
H [mm]	skladba	ΔL_w [dB]									
160–170	žádná	9,0	8,0	-	-	-	8,0	7,5	-	-	-
	A	19,6	18,6	-	-	-	18,6	18,1	-	-	-
	B	19,5	18,5	-	-	-	18,5	18,0	-	-	-
	C	16,5	15,5	-	-	-	15,5	15,0	-	-	-
180–190	žádná	10,0	9,0	8,0	6,0	4,0	9,0	8,5	8,0	6,0	4,0
	A	20,6	19,6	21,5	19,5	17,5	19,6	19,1	21,7	19,7	17,7
	B	20,5	19,5	21,0	19,0	17,0	19,5	19,0	21,0	19,0	17,0
	C	17,5	16,5	18,1	16,1	14,1	16,5	16,0	18,4	16,4	14,4
200–210	žádná	10,0	9,0	8,0	6,0	4,0	9,0	8,5	8,0	6,0	4,0
	A	20,6	19,6	21,5	19,5	17,5	19,6	19,1	21,7	19,7	17,7
	B	20,5	19,5	21,0	19,0	17,0	19,5	19,0	21,0	19,0	17,0
	C	17,5	16,5	18,1	16,1	14,1	16,5	16,0	18,4	16,4	14,4
220–230	žádná	10,5	9,5	8,5	6,5	4,5	9,5	9,0	8,5	6,5	4,5
	A	21,1	20,1	22,0	20,0	18,0	20,1	19,6	22,2	20,2	18,2
	B	21,0	20,0	21,5	19,5	17,5	20,0	19,5	21,5	19,5	17,5
	C	18,0	17,0	18,6	16,6	14,6	17,0	16,5	18,9	16,9	14,9
240–250	žádná	11,0	10,0	9,0	7,0	5,0	10,0	9,5	9,0	7,0	5,0
	A	21,6	20,6	22,5	20,5	18,5	20,6	20,1	22,7	20,7	18,7
	B	21,5	20,5	22,0	20,0	18,0	20,5	20,0	22,0	20,0	18,0
	C	18,5	17,5	19,1	17,1	15,1	17,5	17,0	19,4	17,4	15,4

- ΔL_w vážené snížení hladiny kročejového zvuku dle zkušební metody v novém dokumentu EAD 01 (adopted)
- Podlahová skladba A: betonové/kamenné dlaždice, štěrkové lože, netkaná textilie a nopová fólie (drenážní rohož)
Podlahová skladba B: betonové/kamenné dlaždice a terče
Podlahová skladba C: terasová prkna ze dřeva/dřevoplastu, podkladní konstrukce (dřevěná nebo hliníková) a terče

Modře podbarvené hodnoty

Tyto hodnoty byly naměřeny metodou dle EAD 01 (adopted version). Všechny ostatní hodnoty byly vypočteny Metodou konečných prvků 3D na virtuálním zkušebním vzorku, kterou vyvinula vysoká technická škola HFT Stuttgart v souladu se zkušební metodou dle EAD 01 (adopted version).

Tepelná ochrana

Schöck Isokorb® XT typ KL

XT typ KL	M1-V1		M1-V2		M2-V1		M2-V2	
	R_{eq}	λ_{eq}	R_{eq}	λ_{eq}	R_{eq}	λ_{eq}	R_{eq}	λ_{eq}
H [mm]								
160	1,304	0,092	1,212	0,099	1,091	0,110	1,034	0,116
170	1,364	0,088	1,263	0,095	1,143	0,105	1,071	0,112
180	1,412	0,085	1,319	0,091	1,188	0,101	1,121	0,107
190	1,463	0,082	1,364	0,088	1,237	0,097	1,165	0,103
200	1,500	0,080	1,412	0,085	1,277	0,094	1,200	0,100
210	1,538	0,078	1,463	0,082	1,319	0,091	1,250	0,096
220	1,600	0,075	1,481	0,081	1,364	0,088	1,290	0,093
230	1,644	0,073	1,538	0,078	1,412	0,085	1,333	0,090
240	1,667	0,072	1,579	0,076	1,446	0,083	1,364	0,088
250	1,714	0,070	1,600	0,075	1,481	0,081	1,395	0,086

XT typ KL	M3-V1		M3-V2		M3-VV1		M4-V1		M4-V2	
	R_{eq}	λ_{eq}	R_{eq}	λ_{eq}	R_{eq}	λ_{eq}	R_{eq}	λ_{eq}	R_{eq}	λ_{eq}
H [mm]										
160	0,976	0,123	0,896	0,134	0,706	0,170	0,889	0,135	0,833	0,144
170	1,026	0,117	0,938	0,128	0,741	0,162	0,930	0,129	0,870	0,138
180	1,062	0,113	0,984	0,122	0,779	0,154	0,968	0,124	0,916	0,131
190	1,101	0,109	1,026	0,117	0,811	0,148	1,008	0,119	0,952	0,126
200	1,143	0,105	1,062	0,113	0,839	0,143	1,053	0,114	0,992	0,121
210	1,188	0,101	1,091	0,110	0,876	0,137	1,081	0,111	1,026	0,117
220	1,224	0,098	1,132	0,106	0,909	0,132	1,121	0,107	1,062	0,113
230	1,263	0,095	1,165	0,103	0,938	0,128	1,154	0,104	1,091	0,110
240	1,304	0,092	1,212	0,099	0,976	0,123	1,188	0,101	1,121	0,107
250	1,348	0,089	1,237	0,097	1,000	0,120	1,224	0,098	1,165	0,103

- R_{eq} ekvivalentní tepelný odpor v $m^2 \cdot K/W$
- λ_{eq} ekvivalentní tepelná vodivost ve $W/(m \cdot K)$
- Hodnoty byly stanoveny dle EAD (European Assessment Document): EAD 050001-00-0301 (2018/C 090/04)

Schöck Isokorb® XT typ KL

XT typ KL	M4-V3		M4-VV1		M5-V1		M5-V2		M5-V3		M5-VV1	
	R_{eq}	λ_{eq}	R_{eq}	λ_{eq}	R_{eq}	λ_{eq}	R_{eq}	λ_{eq}	R_{eq}	λ_{eq}	R_{eq}	λ_{eq}
160	0,769	0,156	0,682	0,176	0,822	0,146	0,779	0,154	0,741	0,162	0,583	0,206
170	0,811	0,148	0,719	0,167	0,863	0,139	0,822	0,146	0,779	0,154	0,615	0,195
180	0,845	0,142	0,755	0,159	0,902	0,133	0,851	0,141	0,816	0,147	0,645	0,186
190	0,882	0,136	0,789	0,152	0,945	0,127	0,889	0,135	0,851	0,141	0,674	0,178
200	0,916	0,131	0,822	0,146	0,984	0,122	0,930	0,129	0,882	0,136	0,702	0,171
210	0,952	0,126	0,851	0,141	1,017	0,118	0,968	0,124	0,916	0,131	0,732	0,164
220	0,984	0,122	0,882	0,136	1,053	0,114	1,000	0,120	0,952	0,126	0,759	0,158
230	1,026	0,117	0,916	0,131	1,081	0,111	1,034	0,116	0,984	0,122	0,789	0,152
240	1,053	0,114	0,945	0,127	1,121	0,107	1,062	0,113	1,017	0,118	0,816	0,147
250	1,081	0,111	0,976	0,123	1,154	0,104	1,091	0,110	1,053	0,114	0,839	0,143

XT typ KL	M6-V1		M6-V2		M6-V3		M6-VV1	
	R_{eq}	λ_{eq}	R_{eq}	λ_{eq}	R_{eq}	λ_{eq}	R_{eq}	λ_{eq}
160	0,764	0,157	0,723	0,166	0,674	0,178	0,541	0,222
170	0,800	0,150	0,759	0,158	0,710	0,169	0,569	0,211
180	0,833	0,144	0,795	0,151	0,745	0,161	0,594	0,202
190	0,870	0,138	0,828	0,145	0,779	0,154	0,625	0,192
200	0,909	0,132	0,863	0,139	0,811	0,148	0,652	0,184
210	0,945	0,127	0,896	0,134	0,839	0,143	0,678	0,177
220	0,976	0,123	0,930	0,129	0,870	0,138	0,702	0,171
230	1,008	0,119	0,960	0,125	0,902	0,133	0,732	0,164
240	1,043	0,115	0,992	0,121	0,930	0,129	0,755	0,159
250	1,071	0,112	1,026	0,117	0,960	0,125	0,784	0,153

- R_{eq} ekvivalentní tepelný odpor v $m^2 \cdot K/W$
- λ_{eq} ekvivalentní tepelná vodivost ve $W/(m \cdot K)$
- Hodnoty byly stanoveny dle EAD (European Assessment Document): EAD 050001-00-0301 (2018/C 090/04)

Schöck Isokorb® XT typ KL

XT typ KL	M7-V1		M7-V2		M7-VV1		M8-V1		M8-V2		M8-VV1	
	R_{eq}	λ_{eq}	R_{eq}	λ_{eq}	R_{eq}	λ_{eq}	R_{eq}	λ_{eq}	R_{eq}	λ_{eq}	R_{eq}	λ_{eq}
160	0,597	0,201	0,574	0,209	0,480	0,250	0,550	0,218	0,531	0,226	0,429	0,280
170	0,628	0,191	0,606	0,198	0,504	0,238	0,580	0,207	0,561	0,214	0,451	0,266
180	0,659	0,182	0,635	0,189	0,531	0,226	0,609	0,197	0,588	0,204	0,474	0,253
190	0,690	0,174	0,667	0,180	0,556	0,216	0,638	0,188	0,615	0,195	0,496	0,242
200	0,719	0,167	0,690	0,174	0,580	0,207	0,667	0,180	0,642	0,187	0,519	0,231
210	0,750	0,160	0,719	0,167	0,606	0,198	0,690	0,174	0,670	0,179	0,543	0,221
220	0,779	0,154	0,750	0,160	0,628	0,191	0,719	0,167	0,694	0,173	0,566	0,212
230	0,805	0,149	0,779	0,154	0,656	0,183	0,745	0,161	0,719	0,167	0,585	0,205
240	0,828	0,145	0,805	0,149	0,674	0,178	0,774	0,155	0,745	0,161	0,606	0,198
250	0,857	0,140	0,828	0,145	0,698	0,172	0,800	0,150	0,769	0,156	0,628	0,191

XT typ KL	M9-V1		M9-V2		M10-V1		M10-V2	
	R_{eq}	λ_{eq}	R_{eq}	λ_{eq}	R_{eq}	λ_{eq}	R_{eq}	λ_{eq}
160	0,420	0,286	0,414	0,290	0,411	0,292	0,405	0,296
170	0,443	0,271	0,436	0,275	0,435	0,276	0,429	0,280
180	0,467	0,257	0,460	0,261	0,456	0,263	0,449	0,267
190	0,490	0,245	0,482	0,249	0,480	0,250	0,472	0,254
200	0,511	0,235	0,504	0,238	0,500	0,240	0,494	0,243
210	0,533	0,225	0,526	0,228	0,522	0,230	0,515	0,233
220	0,556	0,216	0,548	0,219	0,543	0,221	0,536	0,224
230	0,574	0,209	0,569	0,211	0,566	0,212	0,558	0,215
240	0,597	0,201	0,588	0,204	0,585	0,205	0,577	0,208
250	0,619	0,194	0,609	0,197	0,606	0,198	0,597	0,201

- R_{eq} ekvivalentní tepelný odpor v $m^2 \cdot K/W$
- λ_{eq} ekvivalentní tepelná vodivost ve $W/(m \cdot K)$
- Hodnoty byly stanoveny dle EAD (European Assessment Document): EAD 050001-00-0301 (2018/C 090/04)

Schöck Isokorb® XT typ KP

XT typ KP	M11-V1		M11-V2		M11-V3		M12-V1		M12-V2		M12-V3	
	R_{eq}	λ_{eq}	R_{eq}	λ_{eq}	R_{eq}	λ_{eq}	R_{eq}	λ_{eq}	R_{eq}	λ_{eq}	R_{eq}	λ_{eq}
180	0,346	0,347	-	-	-	-	0,303	0,396	-	-	-	-
190	0,363	0,331	0,349	0,344	-	-	0,319	0,376	0,307	0,391	-	-
200	0,380	0,316	0,365	0,329	-	-	0,333	0,360	0,323	0,372	-	-
210	0,396	0,303	0,381	0,315	0,354	0,339	0,350	0,343	0,337	0,356	0,317	0,379
220	0,414	0,290	0,397	0,302	0,370	0,324	0,364	0,330	0,352	0,341	0,330	0,364
230	0,430	0,279	0,414	0,290	0,386	0,311	0,380	0,316	0,366	0,328	0,344	0,349
240	0,446	0,269	0,430	0,279	0,400	0,300	0,393	0,305	0,381	0,315	0,357	0,336
250	0,463	0,259	0,444	0,270	0,415	0,289	0,408	0,294	0,393	0,305	0,370	0,324

XT typ KP	M13-V1		M13-V2		M13-V3	
	R_{eq}	λ_{eq}	R_{eq}	λ_{eq}	R_{eq}	λ_{eq}
180	0,270	0,444	-	-	-	-
190	0,284	0,423	0,275	0,437	-	-
200	0,298	0,403	0,288	0,416	-	-
210	0,312	0,385	0,302	0,398	0,285	0,421
220	0,324	0,370	0,315	0,381	0,297	0,404
230	0,339	0,354	0,328	0,366	0,310	0,387
240	0,353	0,340	0,341	0,352	0,323	0,372
250	0,365	0,329	0,354	0,339	0,334	0,359

- R_{eq} ekvivalentní tepelný odpor v $m^2 \cdot K/W$
- λ_{eq} ekvivalentní tepelná vodivost ve $W/(m \cdot K)$
- Hodnoty byly stanoveny dle EAD (European Assessment Document): EAD 050001-00-0301 (2018/C 090/04)

Schöck Isokorb® XT typ KL-U, KL-O

XT typ KL-U	M1-V1		M2-V1		M3-V1		M4-V1	
	R_{eq}	λ_{eq}	R_{eq}	λ_{eq}	R_{eq}	λ_{eq}	R_{eq}	λ_{eq}
H [mm]								
160	0,851	0,141	0,686	0,175	0,543	0,221	0,486	0,247
170	0,896	0,134	0,723	0,166	0,571	0,210	0,511	0,235
180	0,938	0,128	0,755	0,159	0,597	0,201	0,536	0,224
190	0,976	0,123	0,789	0,152	0,628	0,191	0,563	0,213
200	1,017	0,118	0,822	0,146	0,656	0,183	0,585	0,205
210	1,053	0,114	0,851	0,141	0,678	0,177	0,612	0,196
220	1,081	0,111	0,882	0,136	0,706	0,170	0,638	0,188
230	1,111	0,108	0,916	0,131	0,732	0,164	0,663	0,181
240	1,154	0,104	0,945	0,127	0,759	0,158	0,682	0,176
250	1,188	0,101	0,976	0,123	0,784	0,153	0,706	0,170

XT typ KL-O	M1-V1		M2-V1		M3-V1		M4-V1	
	R_{eq}	λ_{eq}	R_{eq}	λ_{eq}	R_{eq}	λ_{eq}	R_{eq}	λ_{eq}
H [mm]								
160	0,896	0,134	0,714	0,168	0,619	0,194	0,486	0,247
170	0,938	0,128	0,750	0,160	0,652	0,184	0,511	0,235
180	0,984	0,122	0,789	0,152	0,682	0,176	0,536	0,224
190	1,026	0,117	0,822	0,146	0,714	0,168	0,563	0,213
200	1,062	0,113	0,851	0,141	0,745	0,161	0,585	0,205
210	1,091	0,110	0,889	0,135	0,774	0,155	0,612	0,196
220	1,132	0,106	0,916	0,131	0,805	0,149	0,638	0,188
230	1,165	0,103	0,952	0,126	0,828	0,145	0,663	0,181
240	1,200	0,100	0,984	0,122	0,857	0,140	0,682	0,176
250	1,237	0,097	1,017	0,118	0,882	0,136	0,706	0,170

- R_{eq} ekvivalentní tepelný odpor v $m^2 \cdot K/W$
- λ_{eq} ekvivalentní tepelná vodivost ve $W/(m \cdot K)$
- Hodnoty byly stanoveny dle EAD (European Assessment Document): EAD 050001-00-0301 (2018/C 090/04)

Schöck Isokorb® XT typ QL

XT typ QL	V1		V2		V3		V4		V5		V6	
	H [mm]	R _{eq}	λ _{eq}	R _{eq}	λ _{eq}	R _{eq}	λ _{eq}	R _{eq}	λ _{eq}	R _{eq}	λ _{eq}	R _{eq}
160	1,212	0,099	1,188	0,101	1,165	0,103	1,111	0,108	-	-	-	-
170	1,263	0,095	1,237	0,097	1,188	0,101	1,154	0,104	1,101	0,109	-	-
180	1,304	0,092	1,277	0,094	1,224	0,098	1,176	0,102	1,143	0,105	1,111	0,108
190	1,348	0,089	1,319	0,091	1,277	0,094	1,224	0,098	1,188	0,101	1,154	0,104
200	1,412	0,085	1,364	0,088	1,319	0,091	1,263	0,095	1,200	0,100	1,176	0,102
210	1,463	0,082	1,429	0,084	1,348	0,089	1,304	0,092	1,250	0,096	1,212	0,099
220	1,500	0,080	1,463	0,082	1,412	0,085	1,333	0,090	1,277	0,094	1,250	0,096
230	1,538	0,078	1,500	0,080	1,446	0,083	1,379	0,087	1,319	0,091	1,290	0,093
240	1,538	0,078	1,538	0,078	1,481	0,081	1,429	0,084	1,348	0,089	1,319	0,091
250	1,558	0,077	1,538	0,078	1,519	0,079	1,463	0,082	1,379	0,087	1,348	0,089

XT typ QL	V7		V8		V9		V10		V11	
	H [mm]	R _{eq}	λ _{eq}	R _{eq}	λ _{eq}	R _{eq}	λ _{eq}	R _{eq}	λ _{eq}	R _{eq}
180	1,017	0,118	0,945	0,127	0,902	0,133	-	-	-	-
190	1,053	0,114	0,976	0,123	0,938	0,128	0,727	0,165	-	-
200	1,091	0,110	1,008	0,119	0,968	0,124	0,759	0,158	0,642	0,187
210	1,132	0,106	1,043	0,115	1,000	0,120	0,789	0,152	0,667	0,180
220	1,165	0,103	1,081	0,111	1,034	0,116	0,805	0,149	0,694	0,173
230	1,176	0,102	1,111	0,108	1,071	0,112	0,833	0,144	0,706	0,170
240	1,212	0,099	1,143	0,105	1,101	0,109	0,857	0,140	0,732	0,164
250	1,250	0,096	1,176	0,102	1,132	0,106	0,889	0,135	0,755	0,159

- R_{eq} ekvivalentní tepelný odpor v m²·K/W
- λ_{eq} ekvivalentní tepelná vodivost ve W/(m·K)
- Hodnoty byly stanoveny dle EAD (European Assessment Document): EAD 050001-00-0301 (2018/C 090/04)

Schöck Isokorb® XT typ QL

XT typ QL	VV1		VV2		VV3		VV4		VV5		VV6	
	H [mm]	R _{eq}	λ _{eq}	R _{eq}	λ _{eq}	R _{eq}	λ _{eq}	R _{eq}	λ _{eq}	R _{eq}	λ _{eq}	R _{eq}
160	1,111	0,108	1,062	0,113	0,984	0,122	0,923	0,130	-	-	-	-
170	1,154	0,104	1,111	0,108	1,026	0,117	0,960	0,125	0,889	0,135	-	-
180	1,176	0,102	1,154	0,104	1,071	0,112	1,000	0,120	0,930	0,129	0,889	0,135
190	1,224	0,098	1,176	0,102	1,111	0,108	1,034	0,116	0,960	0,125	0,923	0,130
200	1,263	0,095	1,212	0,099	1,154	0,104	1,081	0,111	1,000	0,120	0,960	0,125
210	1,304	0,092	1,250	0,096	1,188	0,101	1,111	0,108	1,034	0,116	0,992	0,121
220	1,333	0,090	1,290	0,093	1,200	0,100	1,154	0,104	1,071	0,112	1,026	0,117
230	1,379	0,087	1,333	0,090	1,237	0,097	1,188	0,101	1,101	0,109	1,053	0,114
240	1,429	0,084	1,364	0,088	1,277	0,094	1,200	0,100	1,132	0,106	1,091	0,110
250	1,463	0,082	1,412	0,085	1,304	0,092	1,224	0,098	1,165	0,103	1,121	0,107

XT typ QL	VV7		VV8		VV9		VV10		VV11	
	H [mm]	R _{eq}	λ _{eq}	R _{eq}	λ _{eq}	R _{eq}	λ _{eq}	R _{eq}	λ _{eq}	R _{eq}
180	0,811	0,148	0,732	0,164	0,702	0,171	-	-	-	-
190	0,828	0,145	0,764	0,157	0,714	0,168	0,561	0,214	-	-
200	0,863	0,139	0,800	0,150	0,745	0,161	0,580	0,207	0,471	0,255
210	0,896	0,134	0,811	0,148	0,779	0,154	0,606	0,198	0,490	0,245
220	0,930	0,129	0,845	0,142	0,805	0,149	0,628	0,191	0,500	0,240
230	0,960	0,125	0,870	0,138	0,816	0,147	0,642	0,187	0,522	0,230
240	0,984	0,122	0,902	0,133	0,845	0,142	0,667	0,180	0,529	0,227
250	1,008	0,119	0,930	0,129	0,876	0,137	0,686	0,175	0,548	0,219

- R_{eq} ekvivalentní tepelný odpor v m²·K/W
- λ_{eq} ekvivalentní tepelná vodivost ve W/(m·K)
- Hodnoty byly stanoveny dle EAD (European Assessment Document): EAD 050001-00-0301 (2018/C 090/04)

Schöck Isokorb® XT typ QP

XT typ QP	V1		V2		V3		V4		V5	
	R_{eq}	λ_{eq}	R_{eq}	λ_{eq}	R_{eq}	λ_{eq}	R_{eq}	λ_{eq}	R_{eq}	λ_{eq}
H [mm]										
180	0,913	0,131	0,918	0,131	0,856	0,140	-	-	-	-
190	0,945	0,127	0,952	0,126	0,896	0,134	0,803	0,149	0,752	0,160
200	0,984	0,122	0,984	0,122	0,923	0,130	0,833	0,144	0,779	0,154
210	1,017	0,118	1,026	0,117	0,960	0,125	0,863	0,139	0,811	0,148
220	1,043	0,115	1,053	0,114	0,992	0,121	0,896	0,134	0,839	0,143
230	1,071	0,112	1,081	0,111	1,026	0,117	0,916	0,131	0,863	0,139
240	1,101	0,109	1,121	0,107	1,053	0,114	0,945	0,127	0,896	0,134
250	1,132	0,106	1,143	0,105	1,081	0,111	0,976	0,123	0,923	0,130

XT typ QP	V6		V7		V8		V9		V10	
	R_{eq}	λ_{eq}	R_{eq}	λ_{eq}	R_{eq}	λ_{eq}	R_{eq}	λ_{eq}	R_{eq}	λ_{eq}
H [mm]										
200	0,627	0,191	0,674	0,178	0,620	0,194	0,565	0,213	0,611	0,197
210	0,652	0,184	0,698	0,172	0,645	0,186	0,588	0,204	0,635	0,189
220	0,674	0,178	0,727	0,165	0,670	0,179	0,612	0,196	0,659	0,182
230	0,698	0,172	0,750	0,160	0,694	0,173	0,632	0,190	0,682	0,176
240	0,719	0,167	0,774	0,155	0,719	0,167	0,656	0,183	0,706	0,170
250	0,741	0,162	0,800	0,150	0,741	0,162	0,678	0,177	0,732	0,164

XT typ QP	VV1		VV2		VV3		VV4		VV5	
	R_{eq}	λ_{eq}	R_{eq}	λ_{eq}	R_{eq}	λ_{eq}	R_{eq}	λ_{eq}	R_{eq}	λ_{eq}
H [mm]										
190	0,764	0,157	0,750	0,160	0,702	0,171	-	-	-	-
200	0,795	0,151	0,779	0,154	0,732	0,164	0,649	0,185	0,597	0,201
210	0,822	0,146	0,805	0,149	0,759	0,158	0,670	0,179	0,625	0,192
220	0,851	0,141	0,833	0,144	0,784	0,153	0,694	0,173	0,649	0,185
230	0,876	0,137	0,863	0,139	0,811	0,148	0,719	0,167	0,670	0,179
240	0,902	0,133	0,896	0,134	0,839	0,143	0,741	0,162	0,694	0,173
250	0,930	0,129	0,916	0,131	0,863	0,139	0,769	0,156	0,719	0,167

XT typ QP	VV6		VV7		VV8		VV9		VV10	
	R_{eq}	λ_{eq}	R_{eq}	λ_{eq}	R_{eq}	λ_{eq}	R_{eq}	λ_{eq}	R_{eq}	λ_{eq}
H [mm]										
210	0,486	0,247	0,498	0,241	0,469	0,256	0,430	0,279	0,455	0,264
220	0,506	0,237	0,517	0,232	0,486	0,247	0,448	0,268	0,474	0,253
230	0,524	0,229	0,536	0,224	0,506	0,237	0,465	0,258	0,492	0,244
240	0,543	0,221	0,556	0,216	0,524	0,229	0,484	0,248	0,511	0,235
250	0,563	0,213	0,577	0,208	0,543	0,221	0,500	0,240	0,529	0,227

- R_{eq} ekvivalentní tepelný odpor v $m^2 \cdot K/W$
- λ_{eq} ekvivalentní tepelná vodivost ve $W/(m \cdot K)$
- Hodnoty byly stanoveny dle EAD (European Assessment Document): EAD 050001-00-0301 (2018/C 090/04)

Schöck Isokorb® XT typ QP-Z

XT typ QP-Z	V1		V2		V3		V4		V5	
	H [mm]	R_{eq}	λ_{eq}	R_{eq}	λ_{eq}	R_{eq}	λ_{eq}	R_{eq}	λ_{eq}	R_{eq}
180	1,261	0,095	1,249	0,096	1,242	0,097	-	-	-	-
190	1,290	0,093	1,290	0,093	1,277	0,094	1,135	0,106	1,111	0,108
200	1,333	0,090	1,333	0,090	1,333	0,090	1,165	0,103	1,143	0,105
210	1,364	0,088	1,364	0,088	1,364	0,088	1,212	0,099	1,188	0,101
220	1,412	0,085	1,395	0,086	1,395	0,086	1,237	0,097	1,212	0,099
230	1,446	0,083	1,446	0,083	1,446	0,083	1,277	0,094	1,250	0,096
240	1,463	0,082	1,463	0,082	1,463	0,082	1,290	0,093	1,277	0,094
250	1,500	0,080	1,500	0,080	1,500	0,080	1,333	0,090	1,319	0,091

XT typ QP-Z	V6		V7		V8		V9		V10	
	H [mm]	R_{eq}	λ_{eq}	R_{eq}	λ_{eq}	R_{eq}	λ_{eq}	R_{eq}	λ_{eq}	R_{eq}
200	0,951	0,126	0,915	0,131	0,915	0,131	0,894	0,134	0,894	0,134
210	0,984	0,122	0,945	0,127	0,945	0,127	0,930	0,129	0,930	0,129
220	1,017	0,118	0,984	0,122	0,984	0,122	0,960	0,125	0,960	0,125
230	1,043	0,115	1,008	0,119	1,008	0,119	0,984	0,122	0,984	0,122
240	1,071	0,112	1,034	0,116	1,034	0,116	1,017	0,118	1,017	0,118
250	1,101	0,109	1,071	0,112	1,071	0,112	1,043	0,115	1,043	0,115

- R_{eq} ekvivalentní tepelný odpor v $m^2 \cdot K/W$
- λ_{eq} ekvivalentní tepelná vodivost ve $W/(m \cdot K)$
- Hodnoty byly stanoveny dle EAD (European Assessment Document): EAD 050001-00-0301 (2018/C 090/04)

Schöck Isokorb® XT typ CL, HP, ZL

XT typ CL-L/R	M1-V1		M1-V2		M2-V1		M2-V2	
	R_{eq}	λ_{eq}	R_{eq}	λ_{eq}	R_{eq}	λ_{eq}	R_{eq}	λ_{eq}
H [mm]								
180	0,625	0,192	-	-	0,577	0,208	-	-
190	0,656	0,183	-	-	0,606	0,198	-	-
200	0,682	0,176	0,609	0,197	0,632	0,190	0,569	0,211
210	0,710	0,169	0,635	0,189	0,659	0,182	0,591	0,203
220	0,736	0,163	0,659	0,182	0,682	0,176	0,615	0,195
230	0,764	0,157	0,682	0,176	0,710	0,169	0,638	0,188
240	0,795	0,151	0,706	0,170	0,736	0,163	0,663	0,181
250	0,822	0,146	0,732	0,164	0,759	0,158	0,682	0,176

XT typ HP	NN1		NN2		VV1-NN1		VV2-NN1	
	R_{eq}	λ_{eq}	R_{eq}	λ_{eq}	R_{eq}	λ_{eq}	R_{eq}	λ_{eq}
H [mm]								
160	1,212	0,099	1,034	0,116	0,690	0,174	0,545	0,220
170	1,263	0,095	1,081	0,111	0,710	0,169	0,574	0,209
180	1,304	0,092	1,132	0,106	0,745	0,161	0,597	0,201
190	1,348	0,089	1,165	0,103	0,779	0,154	0,625	0,192
200	1,412	0,085	1,188	0,101	0,811	0,148	0,638	0,188
210	1,446	0,083	1,224	0,098	0,828	0,145	0,667	0,180
220	1,500	0,080	1,263	0,095	0,857	0,140	0,690	0,174
230	1,538	0,078	1,304	0,092	0,889	0,135	0,702	0,171
240	1,558	0,077	1,333	0,090	0,916	0,131	0,723	0,166
250	1,558	0,077	1,364	0,088	0,945	0,127	0,750	0,160

XT typ	ZL	
H [mm]	R_{eq}	λ_{eq}
160	1,818	0,066
170	1,875	0,064
180	1,905	0,063
190	1,967	0,061
200	2,000	0,060
210	2,034	0,059
220	2,069	0,058
230	2,105	0,057
240	2,143	0,056
250	2,182	0,055

- R_{eq} ekvivalentní tepelný odpor v $m^2 \cdot K/W$
- λ_{eq} ekvivalentní tepelná vodivost ve $W/(m \cdot K)$
- Hodnoty byly stanoveny dle EAD (European Assessment Document): EAD 050001-00-0301 (2018/C 090/04)

Schöck Isokorb® XT typ DL

XT typ DL	MM1-VV1		MM1-VV2		MM1-VV3		MM2-VV1		MM2-VV2		MM2-VV3	
	R_{eq}	λ_{eq}	R_{eq}	λ_{eq}	R_{eq}	λ_{eq}	R_{eq}	λ_{eq}	R_{eq}	λ_{eq}	R_{eq}	λ_{eq}
160	0,857	0,140	0,811	0,148	-	-	0,732	0,164	-	-	-	-
170	0,909	0,132	0,857	0,140	0,759	0,158	0,769	0,156	0,690	0,174	-	-
180	0,945	0,127	0,896	0,134	0,795	0,151	0,805	0,149	0,723	0,166	0,638	0,188
190	0,984	0,122	0,930	0,129	0,828	0,145	0,845	0,142	0,759	0,158	0,667	0,180
200	1,026	0,117	0,976	0,123	0,857	0,140	0,876	0,137	0,789	0,152	0,698	0,172
210	1,062	0,113	1,008	0,119	0,896	0,134	0,916	0,131	0,816	0,147	0,723	0,166
220	1,101	0,109	1,043	0,115	0,930	0,129	0,945	0,127	0,851	0,141	0,755	0,159
230	1,143	0,105	1,071	0,112	0,960	0,125	0,984	0,122	0,882	0,136	0,784	0,153
240	1,165	0,103	1,111	0,108	0,992	0,121	1,008	0,119	0,916	0,131	0,805	0,149
250	1,200	0,100	1,154	0,104	1,026	0,117	1,043	0,115	0,938	0,128	0,839	0,143

XT typ DL	MM3-VV1		MM3-VV2		MM3-VV3		MM3-VV4		MM3-VV5	
	R_{eq}	λ_{eq}	R_{eq}	λ_{eq}	R_{eq}	λ_{eq}	R_{eq}	λ_{eq}	R_{eq}	λ_{eq}
160	0,609	0,197	-	-	-	-	-	-	-	-
170	0,642	0,187	0,585	0,205	-	-	-	-	-	-
180	0,674	0,178	0,615	0,195	0,550	0,218	0,504	0,238	-	-
190	0,706	0,170	0,645	0,186	0,577	0,208	0,529	0,227	0,460	0,261
200	0,736	0,163	0,670	0,179	0,603	0,199	0,553	0,217	0,482	0,249
210	0,764	0,157	0,698	0,172	0,628	0,191	0,577	0,208	0,502	0,239
220	0,795	0,151	0,727	0,165	0,656	0,183	0,600	0,200	0,522	0,230
230	0,822	0,146	0,755	0,159	0,682	0,176	0,622	0,193	0,543	0,221
240	0,851	0,141	0,779	0,154	0,706	0,170	0,649	0,185	0,566	0,212
250	0,876	0,137	0,805	0,149	0,727	0,165	0,670	0,179	0,585	0,205

- R_{eq} ekvivalentní tepelný odpor v $m^2 \cdot K/W$
- λ_{eq} ekvivalentní tepelná vodivost ve $W/(m \cdot K)$
- Hodnoty byly stanoveny dle EAD (European Assessment Document): EAD 050001-00-0301 (2018/C 090/04)

Schöck Isokorb® XT typ DL

XT typ DL	MM4-VV1		MM4-VV2		MM4-VV3		MM4-VV4		MM4-VV5	
	R_{eq}	λ_{eq}	R_{eq}	λ_{eq}	R_{eq}	λ_{eq}	R_{eq}	λ_{eq}	R_{eq}	λ_{eq}
160	0,486	0,247	-	-	-	-	-	-	-	-
170	0,513	0,234	0,476	0,252	-	-	-	-	-	-
180	0,541	0,222	0,502	0,239	0,460	0,261	0,426	0,282	-	-
190	0,566	0,212	0,524	0,229	0,482	0,249	0,448	0,268	0,397	0,302
200	0,591	0,203	0,548	0,219	0,502	0,239	0,467	0,257	0,415	0,289
210	0,619	0,194	0,571	0,210	0,526	0,228	0,488	0,246	0,435	0,276
220	0,642	0,187	0,597	0,201	0,548	0,219	0,508	0,236	0,451	0,266
230	0,667	0,180	0,619	0,194	0,569	0,211	0,529	0,227	0,471	0,255
240	0,690	0,174	0,645	0,186	0,591	0,203	0,548	0,219	0,488	0,246
250	0,714	0,168	0,667	0,180	0,612	0,196	0,569	0,211	0,506	0,237

XT typ DL	MM5-VV1		MM5-VV2		MM5-VV3		MM5-VV4		MM5-VV5	
	R_{eq}	λ_{eq}	R_{eq}	λ_{eq}	R_{eq}	λ_{eq}	R_{eq}	λ_{eq}	R_{eq}	λ_{eq}
160	0,430	0,279	-	-	-	-	-	-	-	-
170	0,453	0,265	0,424	0,283	-	-	-	-	-	-
180	0,476	0,252	0,446	0,269	0,412	0,291	0,386	0,311	-	-
190	0,500	0,240	0,467	0,257	0,433	0,277	0,405	0,296	0,364	0,330
200	0,522	0,230	0,490	0,245	0,453	0,265	0,424	0,283	0,381	0,315
210	0,545	0,220	0,513	0,234	0,474	0,253	0,443	0,271	0,397	0,302
220	0,566	0,212	0,533	0,225	0,494	0,243	0,462	0,260	0,415	0,289
230	0,591	0,203	0,553	0,217	0,513	0,234	0,482	0,249	0,432	0,278
240	0,612	0,196	0,574	0,209	0,533	0,225	0,500	0,240	0,449	0,267
250	0,635	0,189	0,594	0,202	0,550	0,218	0,517	0,232	0,465	0,258

- R_{eq} ekvivalentní tepelný odpor v $m^2 \cdot K/W$
- λ_{eq} ekvivalentní tepelná vodivost ve $W/(m \cdot K)$
- Hodnoty byly stanoveny dle EAD (European Assessment Document): EAD 050001-00-0301 (2018/C 090/04)

Schöck Isokorb® XT typ AP, BP, WL

XT typ	AP	
H [mm]	R_{eq}	λ_{eq}
160	0,574	0,209
170	0,603	0,199
180	0,628	0,191
190	0,656	0,183
200	0,678	0,177
210	0,702	0,171
220	0,727	0,165
230	0,750	0,160
240	0,774	0,155
250	0,795	0,151

XT typ BP	M1		M2		M3		M4	
H [mm]	R_{eq}	λ_{eq}	R_{eq}	λ_{eq}	R_{eq}	λ_{eq}	R_{eq}	λ_{eq}
400	0,774	0,155	0,597	0,201	0,482	0,249	0,366	0,328

XT typ WL	M1		M2		M3		M4	
H [mm]	R_{eq}	λ_{eq}	R_{eq}	λ_{eq}	R_{eq}	λ_{eq}	R_{eq}	λ_{eq}
1500-1990	4,138	0,029	4,138	0,029	4,138	0,029	4,138	0,029
2000-2490	4,138	0,029	4,138	0,029	4,138	0,029	4,138	0,029
2500-3500	4,138	0,029	4,138	0,029	4,138	0,029	4,138	0,029

- R_{eq} ekvivalentní tepelný odpor v $m^2 \cdot K/W$
- λ_{eq} ekvivalentní tepelná vodivost ve $W/(m \cdot K)$
- Hodnoty byly stanoveny dle EAD (European Assessment Document): EAD 050001-00-0301 (2018/C 090/04)
- Typ BP: Ekvivalentní součinitel tepelné vodivosti λ_{eq} je závislý na geometrii prvku. Při výpočtu bylo uvažováno s výškou prvku 400 mm. Výsledné hodnoty jsou tedy zaručeně platné pro celé výškové rozmezí.
- Typ WL: Ekvivalentní součinitel tepelné vodivosti λ_{eq} je závislý na geometrii prvku. Ve výškových rozmezích 1500 - 1990 mm, 2000 - 2490 mm, 2500 - 3500 mm bylo při výpočtu uvažováno s výškami 1500 mm, 2000 mm resp. 2500 mm a šířkou 150 mm. Výsledné hodnoty jsou tedy zaručeně platné pro celé výškové rozmezí.

Impresum

Vydal: Schöck-Wittek s.r.o.
Veslavínova 8
746 01 Opava
Telefon: 553 788 308

Copyright:

© 2023, Schöck Bauteile GmbH

Obsah této tiskoviny ani jejích částí nesmí být bez písemného povolení společnosti Schöck Bauteile GmbH předán třetím osobám. Všechny technické údaje, zobrazení apod. podléhají zákonu o ochraně autorských práv.

Technické změny vyhrazeny.

Datum vydání: Červenec 2023



Schöck-Wittek s.r.o.
Veslavínova 8
746 01 Opava
Telefon: 553 788 308
Fax: 553 788 308
wittek@wittek.cz
www.schoeck.com